



انجمن حفاظت در برابر اشعه ایران

## مقاله پژوهشی

مجله سنجش و اینمنی پرتو، جلد ۹، شماره ۲، بهار ۱۴۰۰، صفحه ۲۰-۱۱

تاریخ دریافت مقاله: ۱۴۰۰/۰۳/۲۱، تاریخ پذیرش مقاله: ۱۴۰۰/۰۱/۱۶



# محاسبه دز جذبی ناشی از نوترون‌های ثانویه در روش اسکن نقطه‌ای پروتون‌درمانی با استفاده از نرم‌افزار شبیه‌ساز GATE

علی اسدی\*، سید ابوالفضل حسینی و ناصر وثوقی

گروه مهندسی هسته‌ای، دانشکده مهندسی انرژی، دانشگاه صنعتی شریف، تهران، ایران.

\*تهران، دانشگاه صنعتی شریف، دانشکده مهندسی انرژی، گروه مهندسی هسته‌ای، کد پستی: ۱۴۵۶۵-۱۱۱۴

پست الکترونیکی: aliasadi.sut@gmail.com

## چکیده

در طول فرآیند پروتون‌درمانی، در اثر برهم‌کنش‌های هسته‌ای موجود در خط انتقال پرتو، نوترون‌های ثانویه تولید می‌شوند. در این مطالعه با استفاده از شبیه‌سازی مونت‌کارلو، دز جذبی ناشی از نوترون‌های ثانویه تولید شده در یک فانتم RW3 تخمین زده و با مقادیر اندازه‌گیری شده مقایسه شده است. برای این منظور، دز ایجاد شده توسط نوترون‌های تولیدی از برخورد پرتوهای پروتونی با انرژی ۱۰۰، ۱۵۰ و ۲۰۰ مگا الکترون‌ولت با فانتم، توسط آشکارسازهای کره بونر و شمارگر تناسبی معادل بافت برای موقعیت‌های مختلف در اطراف فانتم، به عنوان تابعی از انرژی، طول ناحیه گسترش قله برآگ و ابعاد میدان درمانی بررسی شد. با افزایش انرژی پرتوهای پروتونی از ۱۰۰ تا ۲۰۰ مگا الکترون‌ولت، دز ناشی از نوترون‌های تولیدی بسته به موقعیت آشکارساز در اطراف فانتم تا ۵۰ برابر افزایش مشاهده شد. تأثیر افزایش ابعاد میدان از ۲ در ۲ به ۲۰ در ۲۰ سانتی‌مترمربع باعث افزایش مقدار دز تا مرتبه ۴۰ برابر برای یک انرژی خاص شد. هم‌چنین با افزایش طول ناحیه گسترش قله برآگ تا ۵ سانتی‌متر، یک افزایش شدید در مقدار دز مشاهده شد. بعد از ۵ سانتی‌متر، روند افزایشی متوقف شده و مقدار دز ناشی از نوترون‌های ثانویه از افزایش طول ناحیه گسترش قله برآگ تأثیر نگرفت.

**کلیدواژگان:** پروتون‌درمانی، نوترون ثانویه، مونت‌کارلو، اسکن نقطه‌ای.

## ۱. مقدمه

بافت‌ها کم شود و می‌توان از آن برای کاهش عوارض جانبی حاد و تأخیری استفاده کرد. فناوری‌های جدید درمان با فوتون‌ها (به عنوان مثال: پرتو درمانی با شدت تعدیل شده<sup>۱</sup>) می‌توانند در نواحی با دز بالا به یک توزیع دز قابل مقایسه با پروتون‌ها دست بیابند، اما ضعف این روش‌ها در مقایسه با

به دلیل وجود قله برآگ<sup>۲</sup>، پروتون‌درمانی و یون سنجی درمانی می‌توانند نسبت به سایر روش‌های موجود در درمان سرطان مانند درمان با پرتوهای فوتونی و الکترونی، به دلیل توانایی بهتر در تحويل و انطباق دز، بهتر عمل کنند [۱-۳]. این مزیت ساختاری باعث می‌شود که دز رسیده به اندام‌های حساس و

<sup>۱</sup> Intensity modulated radiation therapy

<sup>۲</sup> Bragg peak

روش اسکن نقطه‌ای نسبت به روش پراکندگی، دز نوترونی بسیار کمتر وجود داشته باشد. در یک مطالعه تجربی توسط بینس<sup>۹</sup> و همکارانش [۹]، با استفاده از روش مبتنی بر پراکندگی در مرکز شتابدهنده ملی آفریقای جنوبی، برای یک باریکه دایره‌ای پروتون به قطر ۴ سانتی‌متر، مقدار دز نوترون در خارج از حجم فانتوم یا بیمار را بین ۰/۰۳۳ تا ۰/۰۸۰ سیورت تخمین زدند. آن‌ها در اندازه‌گیری خود از هیچ فانتوم یا بیمار استفاده نکردند، درنتیجه فقط نوترون‌های تولید شده در مسیر انتقال پرتو در اعمال این دز درنظر گرفته شده‌اند. آگوستو<sup>۱۰</sup> و همکارانش [۱۰] یک مطالعه مبتنی بر شبیه‌سازی مونت‌کارلو برای بررسی توزیع دز نوترون در پروتون‌درمانی انجام دادند. آن‌ها در مطالعه خود، یک تأسیسات پروتون‌درمانی چشم با انژری ۶۵ مگا الکترون‌ولت را که به روش پراکندگی کار می‌کرد، شبیه‌سازی کردند و حداکثر دز نوترون تولید شده به‌ازای هر گری دز درمانی پروتون را برای پشت چشم<sup>۱۱</sup> گری به‌دست آوردند. هم‌چنین با شبیه‌سازی تأسیسات پروتون‌درمانی اهداف عمیق به روش پراکندگی و انژری در حدود ۲۰۰ مگا الکترون‌ولت، حداکثر دز نوترون به‌ازای هر گری دز درمانی پروتون در نزدیکی سطح و ورودی فانتوم را ۱۰<sup>-۲</sup> گری به‌دست آوردند. با شبیه‌سازی همین تأسیسات به روش اسکن نقطه‌ای، آن‌ها دز نوترون به‌ازای هر گری دز درمانی پروتون را در ۵ سانتی‌متری قله برآگ، ۱۰<sup>-۳</sup> گری تخمین زدند. در پژوهش دیگر مبتنی بر شبیه‌سازی مونت‌کارلو، گنزالو<sup>۱۲</sup> و همکارانش [۱۱] به بررسی توزیع دز نوترون و مسائل مربوط به حفاظه‌سازی<sup>۱۳</sup> برای یک مرکز پروتون‌درمانی

پروتون‌درمانی، تخلیه انژری بسیار زیاد در بافت سالم است. این دز بسیار زیاد ممکن است باعث بروز سرطان‌های ثانویه بشود [۴، ۵]. در پروتون‌درمانی نیز تولید نوترون توسط پرتوی اولیه می‌تواند سهم قابل توجهی در دز تجمعی<sup>۱</sup> ایفا کند و بنابراین باعث کاهش مزیت بالقوه درمان با پروتون‌ها می‌شود [۶]. علاوه‌بر این نوترون‌ها، ضریب تأثیر<sup>۲</sup> (کیفیت) بسیار بالایی دارند [۷] و بنابراین حتی یک دز فیزیکی کم از آن‌ها نیز می‌تواند منجر به اثرات بیولوژیکی بزرگی شود. تولید نوترون در پروتون‌درمانی به شدت وابسته به ماده موجود در مسیر باریکه پروتونی است و از این جهت، به طراحی خط انتقال پرتو بستگی دارد. برای طراحی پروتون‌درمانی براساس اصول کلی، از دو طرح انتقال باریکه استفاده می‌شود: روش مبتنی بر پراکندگی<sup>۳</sup> و روش اسکن نقطه‌ای<sup>۴</sup> [۸]. در روش اول به پراکنده‌سازهای<sup>۵</sup> مختلف، ابزار مسطح کننده پرتو<sup>۶</sup>، موازی سازها<sup>۷</sup> و ابزار تعديل کننده<sup>۸</sup> انژری نیاز است تا یک توزیع دز یکنواخت در حجم هدف و نیم‌سایه‌های تیز در لبه‌ها ایجاد شود. علاوه‌بر این برای هر بیمار باید جبران کننده‌های مخصوصی در مسیر پرتو قرار بگیرند تا میزان دز جانبی با حجم هدف موردنظر مطابقت داشته باشد. روش دیگر تحويل پرتو، روش اسکن نقطه‌ای است که در آن باریکه مدادی پروتون به‌کمک مگنت‌ها کنترل می‌شود و بدون نیاز به دستگاه‌های پراکنده‌ساز، تضعیف کننده یا جبران‌گر در سرتاسر حجم هدف، به صورت سه‌بعدی روییده<sup>۹</sup> می‌شود. در واقع در این روش، فقط نوترون‌های تولید شده در اثر برهم‌کنش پرتو پروتون در بدن بیمار موجب ایجاد دز می‌شوند. بنابراین انتظار می‌رود که در

<sup>9</sup> scan<sup>10</sup> Binns<sup>11</sup> Agusto<sup>12</sup> Gonzalo<sup>13</sup> shielding<sup>1</sup> Cumulative dose<sup>2</sup> Quality factor<sup>3</sup> Scattering<sup>4</sup> Spot scanning<sup>5</sup> scatterer<sup>6</sup> Flattening device<sup>7</sup> Collimator<sup>8</sup> modulator

به گونه‌ای روی میز و در معرض پرتو قرار گرفته که بعد طولانی‌تر آن (۶۰ سانتی‌متر) در جهت عمود بر مسیر پرتو باشد و محل تقاطع پرتو با هر یک از ابعاد دیگر، ۱۵ سانتی‌متر درنظر گرفته شده است. فاصله بین خروجی نازل و نزدیک‌ترین دیواره فانتوم به نازل که به عنوان شکاف‌ها درنظر گرفته می‌شود، ۳۱ سانتی‌متر درنظر گرفته شده است. اندازه‌گیری نوترون با استفاده از شمارشگرهای تناسی معادل بافت<sup>۸</sup> (HAWK) و دو آشکارساز WENDI-rem (WENDI-rem) انجام گرفته است. آشکارسازها در موقعیت‌های زاویه‌ای مختلف و در فواصل مختلف ۱ تا ۲/۲۵ متری از هم مرکز<sup>۹</sup> در اطراف فانتوم قرار گرفته‌اند. به دلیل وجود گام‌های انرژی متفاوت (وابسته به انرژی نوترون) از مدل‌های مختلف شمارگر تناسی معادل بافت استفاده شده تا محدوده‌های مختلف انتقال انرژی خطی را پوشش دهند. مقادیر دز معادل اندازه‌گیری شده توسط شمارگر تناسی معادل بافت با استفاده از ضریب مخصوص آشکارساز به دز معادل محیطی در عمق ۱۰ سانتی‌متری تبدیل شده‌اند، این ضرایب از طریق کارهای تجربی قبلی به دست آمده‌اند [۱۳، ۱۴]. جزئیات این اندازه‌گیری‌ها و خط انتقال باریکه به تفصیل در مراجع [۱۵، ۱۶] ذکر شده‌اند.

## ۲.۲. شبیه‌سازی مونت‌کارلو

در پژوهش فعلی، شبیه‌سازی مبتنی بر روش مونت‌کارلو با استفاده از نرم‌افزار شبیه‌ساز GATE<sup>۱۰</sup> انجام گرفته است. GATE یک نرم‌افزار شبیه‌ساز است که از کتابخانه GEANT4<sup>۱۱</sup> استفاده می‌کند و قابلیت‌های آن در تصویربرداری پزشکی و پرتو درمانی توسعه داده شده است [۱۷]. چشم

کوچک<sup>۱</sup> (فشرده) پرداختند. آن‌ها در مطالعه خود، دز معادل محیطی<sup>۲</sup> را در نقاط مختلف این مرکز با استفاده برنامه مونت‌کارلویی MCNP6<sup>۳</sup> برآورد کردند و در همه موارد دز معادل محیطی را زیر ۱ میلی‌سیورت در سال تخمین زدند. هدف از این مطالعه، محاسبه دز معادل محیطی نوترون در خط انتقال پرتو اسکن نقطه‌ای مرکز پرتو درمانی IBA<sup>۴</sup> است. نتایج این شبیه‌سازی برای انرژی‌های مختلف ۱۰۰، ۱۵۰ و ۲۰۰ و ۲۲۰ مگا الکترون‌ولت با مقادیر اندازه‌گیری شده مقایسه می‌شوند. در ادامه تأثیر اندازه میدان برای دو انرژی خاص بررسی شده و در انتها اثر طول ناحیه گسترش قله برآگ<sup>۵</sup> بر دز معادل محیطی نوترون در پرتو درمانی به دست آمده و با مقادیر گزارش شده مقایسه می‌شود.

## ۲. مواد و روش‌ها

### ۱.۲. اندازه‌گیری‌ها

در پژوهش فعلی جهت مقایسه نتایج حاصل از شبیه‌سازی، نتایج اندازه‌گیری‌های صورت گرفته در نازل<sup>۶</sup> پرتو درمانی IBA در مرکز سیکلترون Bronowice مورد استفاده قرار گرفته است [۱۲]. در اینجا یک باریکه مدادی پرتو درمانی شده تا یک فانتوم جامد RW3 به ابعاد ۳۰cm×۳۰cm×۶۰cm را پرتو دهی کند. این فانتوم براساس داده‌هایی که از سازنده TiO<sub>2</sub> به دست آمده ترکیبی از ۹۸ درصد پلی‌استرن و ۲ درصد می‌باشد. اندازه لکه<sup>۷</sup> باریکه پرتو نی در خروجی فانتوم و برای انرژی‌های ۱۰۰ تا ۲۲۰ مگا الکترون‌ولت به صورت میانگین در محدوده ۵/۳-۳/۰ میلی‌متر به دست آمده است؛ بنابراین خروجی شتاب‌دهنده از لحاظ اپتیکی همگراست. فانتوم

<sup>8</sup>Tissue equivalent proportional counter

<sup>9</sup>Iso center

<sup>10</sup>Geant4 application in emission tomography

<sup>11</sup>Geometry and tracking 4

<sup>1</sup>Compact proton therapy facility

<sup>2</sup>Ambient equivalent dose

<sup>3</sup>Monte Carlo code N particle transport 6

<sup>4</sup>Ion beam application

<sup>5</sup>Spread out Bragg peak

<sup>6</sup>nozzle

<sup>7</sup>Spot size

شبیه‌سازی، تونل<sup>۴</sup> ورودی به طور کامل درنظر گرفته نشده و فقط قسمت ورودی برای فرار نوترون‌ها مدنظر گرفته شده است. در فیریکی داخل فانتوم RW3 در یک شبکه استوانه‌ای RW3 در یک شبکه استوانه‌ای با و بدون تولید نوترون ذخیره شد و محاسبات جداگانه‌ای با و بدون تولید نوترون انجام گرفت؛ از اطلاعات بدست آمده در این مرحله برای پروسه تولید ناحیه گسترش قله برآگ استفاده خواهد شد. در LB6411 شبیه‌سازی برای اندازه‌گیری‌ها، کره Bonner مدل ۱۸ اسفاده شد [۱۸]، این ابزار برای اندازه‌گیری و دزیمتری در طیف وسیعی از انرژی‌های نوترون مورد استفاده قرار می‌گیرد. مطابق اطلاعات سازنده، جنس لایه بیرونی از پلی‌اتیلن و به ضخامت ۲۵ سانتی‌متر و دو کره داخلی که یکی از جنس استیل ضدزنگ و دیگری محفظه‌ای از  $^{3}\text{He}$  درنظر گرفته شده. در شکل ۱ نمایی کلی از این ابزار که در مدل‌سازی استفاده شده، نشان داده شده است. ضریب تبدیل مناسب آشکارساز برای کره Bonner از طریق کالیبراسیون با استفاده از طیف  $^{252}\text{Cf}$  در یک کار مشابه معادل ۱/۲۷ میکروسیورت بر ساعت به‌ازای هر شمارش بر ثانیه بدست آمده است [۱۵]. در این پژوهش برمنای محاسبه قبلی صورت گرفته در مورد یافتن تابع پاسخ کره بونر که قبلاً در نرم‌افزار Geant<sup>۴</sup> انجام گرفته [۱۹]، مطابق نقاط اندازه‌گیری شده در مطالعه یادشده و کالیبراسیون‌ها، شبیه‌سازی‌ها در پژوهش فعلی صورت گرفت و مقدار مناسب ضریب کالیبراسیون برای تبدیل داده‌های شبیه‌سازی با نرم‌افزار شبیه‌ساز GATE، ۱/۱۸ میکروسیورت بر ساعت در واحد شمارش به‌دست آمد. در این مطالعه از این ضریب برای تبدیل‌های مربوطه استفاده شد. کره بونر در فواصل مختلف (او ۱/۵ متر) از مرکز و در زوایای ۰ درجه (در راستای پرتو تابیده شده) و ۹۰ درجه (عمود بر راستای پرتو فرودی) نسبت به پرتو ورودی قرار گرفت. جزئیات چیدمان شبیه‌سازی در

استفاده شده در شبیه‌سازی برمنای چشمی پرتو مدادی سیستم طراحی درمان<sup>۱</sup>، مطابق خصوصیات پرتو مرکز IBA است؛ در کد شبیه‌ساز GATE برای شبیه‌سازی یک طرح درمان با استفاده از چشمی TPS Pencil Beam به دو ورودی نیاز است: فایل توصیف چشمی و فایل توصیف طرح<sup>۲</sup>. توصیف چشمی سیستم تحويل پرتو را با مجموعه‌ای از معادلات چندجمله‌ای توصیف می‌کند که به کاربر این امکان را می‌دهد تا ویژگی‌های نوری و انرژی هر باریکه مدادی را به عنوان تابعی از انرژی پرتو در ورودی نازل تعیین کند، این معادلات از طریق برآذش منحنی‌های چندجمله‌ای روی داده‌های اصلی به‌دست آمده از سیستم اصلی یا از طریق خود سازنده در دسترس خواهند بود. این ویژگی‌ها شامل توزیع‌های فضایی (در جهات x و y) با این پیش‌فرض که جهت z جهت حرکت باریکه است، توزیع‌های زاویه‌ای در جهات (θ و φ) پخش شدگی‌ها در جهات xθ و φy، توزیع انرژی و خود کمیت انرژی مورد استفاده در شبیه‌سازی می‌باشند. در مقابل، فایل توصیف طرح شامل میدان‌های درمانی، زوایا، مجموعه پرتوهای مدادی، نقاط و موقعیت پویشگرهای مغناطیسی تا هم مرکز می‌باشد [۱۷]. این شتاب‌دهنده قادر به تولید باریکه‌های پروتون در بازه انرژی ۳۴ تا ۲۵۰ مگا الکترون‌ولت برای دست‌یابی به برد تقریبی ۷۰ سانتی‌متر در آب می‌باشد و از لحاظ اپتیکی واگرای است. هم‌چنین از انرژی‌های ۱۰۰، ۱۵۰، ۲۰۰ و ۲۲۰ مگا الکترون‌ولت این سیستم برای پرتودهی به فانتوم RW3 استفاده شده است. در شبیه‌سازی‌های صورت گرفته، مطابق آنچه در کار بینس و همکارانش [۹] گزارش شده، دیواره‌های بتونی، سقف و موارد موجود در اتاق درمان درنظر گرفته شده است. زیرا نوترون‌های پس‌تابیده<sup>۳</sup> مخصوصاً آن‌هایی که در مجاورت دیواره‌ها تولید می‌شوند را نمی‌توان در نتایج دزیمتری نادیده گرفت [۱۲]. در

<sup>3</sup> Reflected<sup>4</sup> Maze<sup>1</sup> Pencil beam<sup>2</sup> Plan description file

### ۳. نتایج

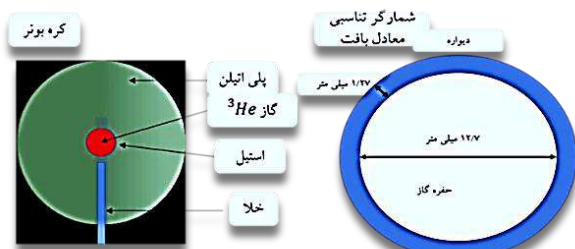
#### ۱,۳. وابستگی دز معادل محیطی به انرژی

با یک شکاف هوای ثابت، ۳۱ سانتی‌متر، فانتوم در معرض تابش‌هایی با انرژی‌های ۱۰۰، ۱۵۰، ۲۰۰ و ۲۲۰ مگا الکترون‌ولت قرار گرفت، به‌طوری که اندازه ابعاد میدان در محل قله برآگ  $5 \times 5$  سانتی‌متر مرربع باشد.

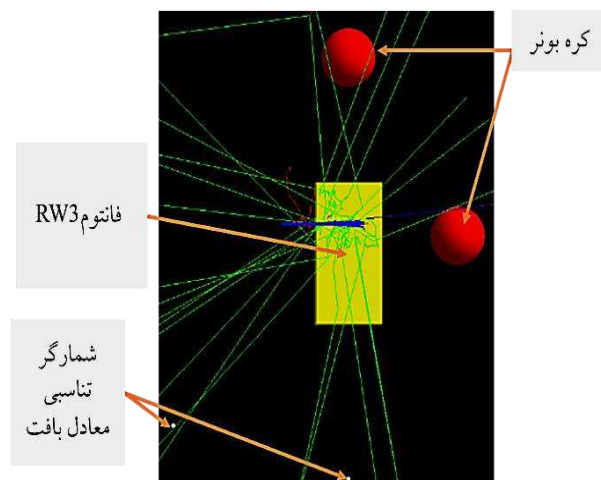
در جدول ۱ مقادیر دز معادل محیطی به‌ازای هر گری دز درمانی پروتون برای موقعیت‌های مختلف ۱-۴ در اطراف فانتوم گزارش شده است. بیشترین مقدار برای موقعیت ۱ اتفاق می‌افتد. مطابق نظر فرج<sup>۲</sup> و همکارانش [۱۳، ۱۵] این مقدار در اثر تابش نوترون‌های آبشار درون‌هسته‌ای<sup>۳</sup> که اولین‌بار توسط سربر<sup>۴</sup> [۲۱] برای توصیف برهم‌کنش‌های ذره‌ذره معرفی شد، قابل توجیه است. با افزایش انرژی، تولید نوترون‌های ثانویه با یک شیب تند افزایش می‌یابد.

دز معادل محیطی به‌ازای هر گری دز درمانی منتقل شده به ناحیه هدف در فانتوم در موقعیت ۱ برای پرتوی با انرژی ۲۲۰ مگا الکترون‌ولت، تقریباً ۵۰ برابر بیشتر از مقدار اندازه‌گیری شده برای انرژی ۱۰۰ مگا الکترون‌ولت است. این نسبت برای موقعیت‌های ۲ تا ۴، با ضریب ۱۰ کاهش می‌یابد که نشان‌دهنده تولید نوترون‌های حرارتی و کم انرژی در این نواحی است [۲۲]. در شکل ۳ مقدار دز معادل محیطی در انرژی‌های مختلف برای موقعیت‌های نشان داده شده در شکل ۱ نمایش داده شده است.

شکل ۲ نشان داده شده است. علاوه‌براین در شبیه‌سازی از ۲ شمارگر تناسی معادل بافت هم استفاده شد. این آشکارساز به‌طور خاص برای اندازه‌گیری توزیع انتقال انرژی خطی در یک حجم استفاده می‌شود [۲۰] و بسته به شرایط اندازه‌گیری می‌تواند برای استفاده در پرتوهای با انتقال انرژی خطی<sup>۱</sup> بالا برای تعیین کیفیت پرتو و همچنین در مطالعات حفاظت پرتویی استفاده شود. هندسه این آشکارساز با توجه به مطالعه قبلی صورت گرفته توسعه انتخاب (مطابق شکل ۱) و جنس دیواره از پلاستیک معادل بافت درنظر گرفته شد [۲۰]. این آشکارسازها در فواصل ۲/۲۵ متر از هم مرکز و در ۲ موقعیت در زوایای ۹۰ و ۱۳۵ درجه قرار گرفته‌اند. در شکل ۲ موقعیت قرارگیری این آشکارسازها در مدل‌سازی نشان داده شده است.



شکل (۱): جزئیات هندسه درنظر گرفته شده برای مدل‌سازی آشکارسازها.



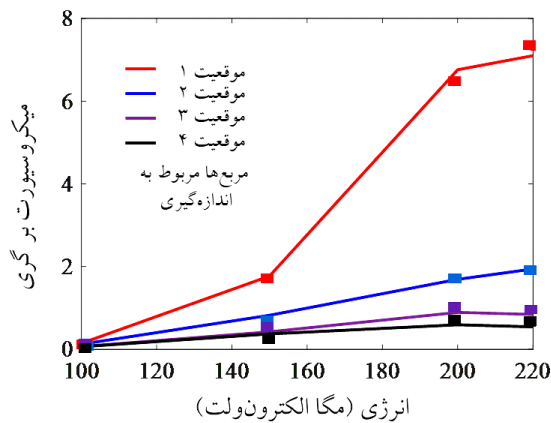
شکل (۲): چیدمان شبیه‌سازی و موقعیت آشکارسازها در اطراف فانتوم [۱۲]

<sup>۳</sup> Intra nuclear cascade

<sup>۴</sup> Serber

<sup>۱</sup> Linier energy transfer

<sup>۲</sup> Farah



شکل (۳): مقدار دز معادل محیطی بهازی هر گری در درمانی محاسبه شده در این شبیه سازی (خط) و بدست آمده از اندازه گیری تجربی (مربع) [۱۲] در اطراف فانتوم به صورت تابعی از انرژی.

## ۲.۳. وابستگی دز معادل محیطی به ابعاد میدان درمانی

اندازه گیری شده و شبیه سازی شده برای موقعیت های ۱ و ۲ و همچنین بین موقعیت های ۳ و ۴ مشاهده می شود. آنچه واضح است خود وابستگی به میدان بهشدت به انرژی نیز وابسته است و با افزایش انرژی پرتو فرودی برای یک میدان ثابت  $20 \times 20$  مقدار به دست آمده برای دز با افزایش انرژی از ۱۰۰ به ۲۰۰ مگا الکترون ولت تا ۲۲ برابر (بسطه به موقعیت آشکار ساز) افزایش پیدا می کند.

تغییرات دز معادل محیطی نسبت به اندازه میدان درمانی برای میدان هایی با ابعاد  $2 \times 2$ ،  $5 \times 5$ ،  $10 \times 10$  و  $20 \times 20$  سانتی متر مریع در انرژی ۱۰۰ و ۲۰۰ مگا الکترون ولت با شکاف هوای ثابت ۳۱ سانتی متر بررسی شد. مقادیر اندازه گیری شده و شبیه سازی شده دز معادل محیطی برای انرژی های ۱۰۰ و ۲۰۰ مگا الکترون ولت در جدول های ۲ و ۳ گزارش شده است. مطابق نتایج گزارش شده در جدول ۲، اختلاف کمی بین مقادیر

جدول (۱): مقادیر دز معادل محیطی بهازی هر گری دز درمانی پروتون (میکروسیورت بر گری) محاسبه شده در این شبیه سازی و بدست آمده از اندازه گیری تجربی [۱۲] برای موقعیت های مختلف در اطراف فانتوم در انرژی های ۱۰۰، ۱۵۰، ۲۰۰ و ۲۲۰ مگا الکترون ولت.

انرژی مگا الکترون ولت	موقعیت ۱ شبیه سازی اندازه گیری	موقعیت ۲ شبیه سازی اندازه گیری	موقعیت ۳ شبیه سازی اندازه گیری	موقعیت ۴ شبیه سازی اندازه گیری	خطا %						
					موقعیت ۱ شبیه سازی اندازه گیری	موقعیت ۲ شبیه سازی اندازه گیری	موقعیت ۳ شبیه سازی اندازه گیری	موقعیت ۴ شبیه سازی اندازه گیری	موقعیت ۱ شبیه سازی اندازه گیری	موقعیت ۲ شبیه سازی اندازه گیری	موقعیت ۳ شبیه سازی اندازه گیری
۱۰۰	۰/۱۴۱۲	۰/۱۵	۰/۱۲۱	۰/۱۴	-۷/۲۳	-۰/۱۲۱	-۰/۱۴	-۰/۱۵	-۰/۱۴۱۲	-۰/۱۵	-۰/۱۲۱
۱۵۰	۱/۷۶۸۴	۱/۷۳	۰/۸۲۰	۰/۷۵	-۲/۱۷	-۰/۸۲۰	-۰/۷۵	-۰/۷۳	-۱/۷۶۸۴	-۱/۷۳	-۰/۸۲۰
۲۰۰	۷/۷۶۰۰	۷/۵۰	۱/۶۹۰	۱/۸۴	-۳/۸۴	-۱/۶۹۰	-۱/۸۴	-۱/۷۳	-۷/۷۶۰۰	-۷/۵۰	-۱/۷۳
۲۲۰	۷/۱۰۰۰	۷/۲۸	۱/۹۴۰	۱/۸۰	-۲/۵۳	-۱/۹۴۰	-۱/۸۰	-۱/۷۳	-۷/۱۰۰۰	-۷/۲۸	-۱/۷۳

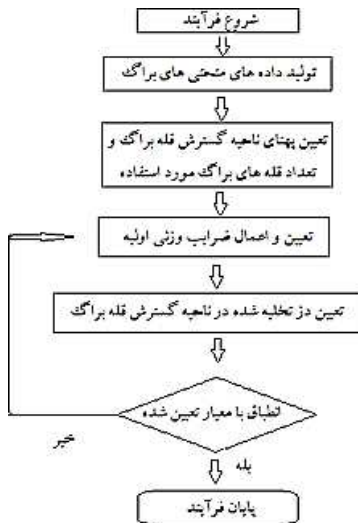
جدول (۲): مقادیر دز معادل محیطی بهازی هر گری دز درمانی پروتون (میکروسیورت بر گری) محاسبه شده در این شبیه سازی و بدست آمده از اندازه گیری تجربی [۱۲] برای موقعیت های مختلف در اطراف فانتوم در انرژی ۱۰۰ مگا الکترون ولت و برای میدان هایی با ابعاد مختلف.

سانتی متر مریع	اندازه میدان	موقعیت ۱ شبیه سازی اندازه گیری	موقعیت ۲ شبیه سازی اندازه گیری	موقعیت ۳ شبیه سازی اندازه گیری	موقعیت ۴ شبیه سازی اندازه گیری	خطا %						
						موقعیت ۱ شبیه سازی اندازه گیری	موقعیت ۲ شبیه سازی اندازه گیری	موقعیت ۳ شبیه سازی اندازه گیری	موقعیت ۴ شبیه سازی اندازه گیری	موقعیت ۱ شبیه سازی اندازه گیری	موقعیت ۲ شبیه سازی اندازه گیری	موقعیت ۳ شبیه سازی اندازه گیری
۲×۲	۰/۱۰۰	۰/۰۵	۰/۰۵۹	-۱۰/۰۰	۰/۰۴	۰/۰۴۴	۱۱/۲۵	۰/۰۸	۰/۰۷۱	۰	۰/۱۰	۰/۱۰۰
۵×۵	۸/۷۵	۰/۰۸	۰/۰۷۳	۷/۱۴	۰/۰۷	۰/۰۶۵	۸/۰۷	۰/۱۴	۰/۱۲۸	۷/۵	۰/۱۶	۰/۱۴۸
۱۰×۱۰	-۸/۱۶	۰/۴۹	۰/۰۵۳۰	-۹/۳۰	۰/۰۴۳	۰/۰۴۷۰	۱۲/۳۵	۰/۰۸۹	۰/۰۷۸۰	-۵/۷	۰/۲۸	۰/۲۹۶
۲۰×۲۰	۱۳/۵۴	۱/۰۵	۱/۰۳۴۰	-۴/۴۰	۱/۰۵۷	۱/۰۶۴۰	-۵/۶۲	۳/۲۰	۳/۰۸۰	۴/۷	۳/۰۷۷	۳/۰۱۰

جدول (۳): مقادیر دز معادل محیطی به‌ازای هر گری دز درمانی پروتون (میکروسیورت بر گری) محاسبه شده در این شبیه‌سازی و بدست آمده از اندازه‌گیری تجربی [۱۲] برای موقعیت‌های مختلف در اطراف فانتوم در انرژی ۲۰۰ مگا الکترون‌ولت و برای میدان‌هایی با ابعاد مختلف.

اندازه میدان سانسی متراج	موقعیت ۱ اندازه گیری	موقعیت ۲ اندازه گیری	موقعیت ۳ اندازه گیری	موقعیت ۴ اندازه گیری	موقعیت ۵ اندازه گیری	موقعیت ۶ اندازه گیری	موقعیت ۷ اندازه گیری	موقعیت ۸ اندازه گیری	موقعیت ۹ اندازه گیری	موقعیت ۱۰ اندازه گیری	موقعیت ۱۱ اندازه گیری
-۱۴/۸۰	۰/۲۷	۰/۳۱۰	-۱۵/۴	۰/۳۵	۰/۴۰۴	۱۸/۴	۰/۷۰	۰/۵۷۱	۸/۸	۲/۵۰	۲/۲۸۰
۴/۱۰	۰/۶۷	۰/۶۴۲	۸/۶	۰/۹۸	۰/۸۹۵	۱۱/۵	۱/۸۴	۱/۶۲۸	۵/۴	۷/۵۰	۷/۱۴۸
۷/۶۵	۲/۲۲	۲/۰۵۰	-۰/۲	۳/۴۶	۲/۴۷۰	-۴/۰	۰/۹۱	۷/۱۸۰	۷/۹	۲۰/۷۳	۱۹/۲۹۶
-۲/۰۵	۸/۲۷	۸/۴۴۰	۸/۶	۱۳/۸۴	۱۲/۶۴۰	-۱۳/۰	۲۱/۵۶	۲۴/۳۸۰	۲/۹	۷۲/۳۲	۷۰/۲۱۰
											۲۰×۲۰

در این رابطه،  $Di(x)$  بیانگر مقدار دز برای پرتو  $\alpha$  فروودی در محل  $(x)$  و  $Wi$  ضریب وزنی برای پرتو  $\alpha$  فروودی می‌باشد. در این مطالعه فرآیند بهینه‌سازی با هدف رسیدن به کمتر از ۱/۵ درصد اعوجاج در ناحیه گسترش قله براگ انجام شده است. در شکل ۳ فلوچارت مربوط به تولید این ناحیه گزارش شده است.



شکل (۳): فلوچارت مربوط به فرآیند تولید ناحیه گسترش قله براگ.

در طول فرآیند بهینه‌سازی، با توجه به این‌که انرژی تخلیه شده ناشی از هر ذره در هر انرژی خاص از قبل تعیین شده، با هدف ایجاد یک ناحیه گسترش قله براگ با شبیه افقی، پرسه بهینه‌سازی انجام و تعداد ذراتی که باید در هر نقطه و هر لایه تخلیه شوند، تعیین می‌شود. مطابق روال گذشته طول شکاف هوا ۳۱ سانتی‌متر در نظر گرفته شد. نتایج تغییرات دز معادل محیطی برای طول‌های مختلف ناحیه گسترش قله براگ در جدول ۴ گزارش شده است. مطابق جدول ۴،

### ۳.۳. وابستگی دز معادل محیطی به طول ناحیه گسترش قله براگ

برای بررسی مقدار دز معادل محیطی به‌ازای هر گری دز درمانی، فانتوم موردنظر تحت تابش پروتونی با انرژی ۲۰۰ مگا الکترون‌ولت قرار گرفت و طول ناحیه هدف در اندازه‌گیری دز نوترون در هر مرحله ۰، ۲، ۵، ۱۰ و ۱۵ سانتی‌متر در نظر گرفته شد.

برای تولید ناحیه گسترش قله براگ از روش انتخاب انرژی استفاده شد، برای جایه‌جایی برد روی اهداف از روش کنترل انرژی به وسیله جایه‌جاگر پرتو استفاده شد و برای تولید یک توزیع دز یکنواخت بر روی هدف، از پرسه بهینه‌سازی وارون استفاده شد.

برای تولید ناحیه گسترش قله براگ در گام اول از باریکه‌های تک انرژی استفاده شده است. نکته‌ای که در مورد روش تولید این ناحیه مطرح است، این است که در تخلیه شده در هر موقعیت (در طول منحنی براگ) برای یک انرژی خاص با دز ایجاد شده در همان محل که در اثر تخلیه دز سایر منحنی‌های براگ به وجود می‌آیند هم پوشانی می‌کند که در اثر این هم پوشانی، یک ناحیه نامطلوب و غیر یکنواخت از نظر تخلیه دز به وجود می‌آید.

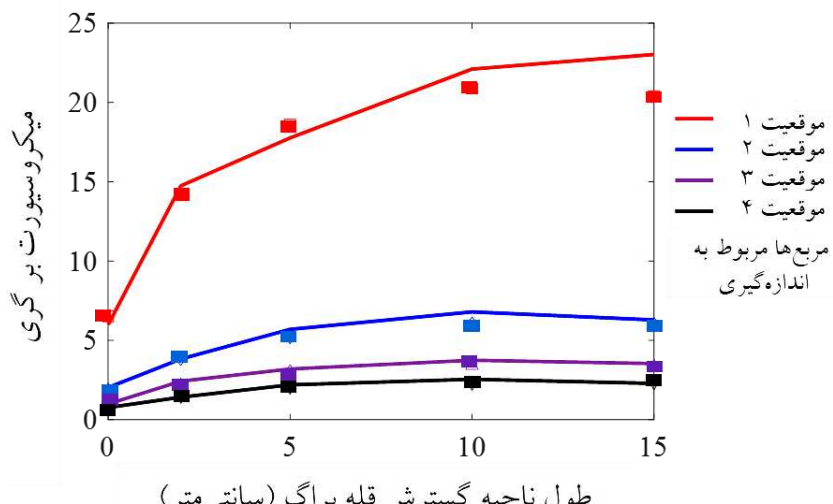
برای به دست آوردن دز در ناحیه گسترش قله براگ در هر موقعیت (x) در طول منحنی براگ از رابطه ۱ استفاده شده است: [۲]:

$$Dso bp(x) = \sum_i Wi Di(x) \quad (1)$$

قله برآگ است، تغییر محسوسی در افزایش دز مشاهده نمی‌شود. چنین رفتاری به این صورت توجیه می‌شود که با افزایش ناحیه گسترش قله برآگ، برای تحويل یک دز یکسان به ناحیه هدف، به تعداد پروتون بیشتری نیاز است که این امر منجر به افزایش تولید نوترون‌های ثانویه می‌شود و با گذشتن از یک طول خاص از ناحیه گسترش قله برآگ، افزایش در تعداد پروتون‌هایی که برای ثابت نگهداشتن یا افزایش نرخ تولید نوترون‌های ثانویه موردنیاز است، کفایت نمی‌کند [۱۲].

جدول (۴): مقادیر دز معادل محیطی به‌ازای هر گری دز درمانی پروتون (میکروسیورت بر گری) محاسبه شده در این شبیه‌سازی و بدست آمده از اندازه‌گیری تجربی [۱۲]. برای موقعیت‌های مختلف در اطراف فانتوم در انرژی‌های ۱۰۰، ۱۵۰ و ۲۰۰ مگاکلترون‌ولت.

طول ناحیه گسترش قله برآگ (سانتی‌متر)	موقعیت ۱ اندازه‌گیری	موقعیت ۲ شبیه‌سازی	موقعیت ۳ اندازه‌گیری	موقعیت ۴ شبیه‌سازی	موقعیت ۵ اندازه‌گیری	موقعیت ۶ شبیه‌سازی	موقعیت ۷ اندازه‌گیری	موقعیت ۸ شبیه‌سازی	موقعیت ۹ اندازه‌گیری	موقعیت ۱۰ شبیه‌سازی	موقعیت ۱۱ اندازه‌گیری	موقعیت ۱۲ شبیه‌سازی	موقعیت ۱۳ اندازه‌گیری	موقعیت ۱۴ شبیه‌سازی	موقعیت ۱۵ اندازه‌گیری
۸/۵۵	۰/۸۳	۰/۷۵۹	۱۷/۶۰	۱/۱۹	۰/۹۸	-۹/۸	۱/۸۴	۲/۰۲۱	۸/۰۰	۷/۵۰	۵/۹۸	۰			
۴/۷۰	۱/۴۸	۱/۴۱۰	-۱۲/۰۲	۲/۱۶	۲/۴۲	۱/۲	۳/۸۷	۳/۸۲۰	-۴/۲۰	۱۴/۱۴	۱۴/۷۴	۲			
-۶/۳۰	۲/۰۶	۲/۱۹۰	-۵/۹۰	۳/۰۱	۳/۱۹	-۸/۵	۵/۲۴	۵/۶۹۰	۴/۴۰	۱۸/۵۹	۱۷/۷۶	۵			
-۹/۹۰	۲/۳۱	۲/۵۴۰	۱۰/۰۰	۳/۴۰	۳/۷۴	-۱۲/۹	۷/۰۱	۷/۷۹۰	-۵/۸۰	۲۰/۸۸	۲۲/۱۰	۱۰			
۲/۱۰	۲/۲۳	۲/۲۸۰	-۵/۳۰	۳/۲۳۵	۳/۰۳	-۵/۰	۰/۹۸	۷/۲۸۰	-۱۲/۹۰	۲۰/۳۸	۲۳/۰۲	۱۵			



شکل (۴): واپستگی دز معادل محیطی به طول ناحیه گسترش قله برآگ در موقعیت‌های مختلف در اطراف فانتوم (مقدار دز معادل محیطی به‌ازای هر گری دز درمانی محاسبه شده در این شبیه‌سازی (خط) و بدست آمده از اندازه‌گیری تجربی (مریع) [۱۲]).

#### ۴. بحث و نتیجه‌گیری

به دست آمد و با مقادیر اندازه‌گیری شده مقایسه شد. نشان داده شد که مقادیر دز معادل محیطی به‌ازای هر گری دز درمانی در روش اسکن نقطه‌ای به شدت به موقعیت قرارگیری آشکارساز

مقادیر دز معادل محیطی نوترون‌های ثانویه تولید شده در روش اسکن نقطه‌ای پروتون درمانی، در موقعیت‌های مختلف در اطراف یک فانتوم مکعبی با استفاده از شبیه‌سازی مونت کارلو

از مونت کارلو برای دزیمتری نوترون یا در کالیبراسیون داده‌ها خطاهایی در این حد گزارش شده و مورد استناد قرار می‌گیرند. در مرجع [۲۳] با استفاده از نرم‌افزار MCNP محاسبات دزیمتری نوترون شبیه‌سازی شده که خطاهایی تا ۱۷٪/۲۲٪/۲۴٪ وابسته به موقعیت درنظر گرفته شده مشاهده می‌شود، در مرجع [۲۴] مقایسه بین عملکرد دو نرم‌افزار مونت کارلویی GATE و Fluka انجام شده که نشان داده شده در شرایطی نرم‌افزار GATE تا دو برابر Fluka شار ذرات ثانویه را برآورد می‌کند، بنابراین مدل مونت کارلویی استفاده شده و فیزیک‌های تعریف شده در یک نرم‌افزار، تأثیر زیادی در پاسخ آن خواهد داشت. هم‌چنین در مرجع استفاده شده در این مطالعه، در شرایطی خاص انحراف استاندارد ۲۹٪ واحدی که تقریباً معادل ۴۰٪ مقدار اندازه‌گیری شده می‌باشد، مشاهده شده است. همه این عوامل در کنار هم شرایطی را ایجاد می‌کنند که دزیمتری نوترون مسئله‌ای چالش‌برانگیز و موردنوجه باشد. لذا عملکرد شبیه‌ساز GATE در شبیه‌سازی جهت محاسبه دز معادل محیطی قابل اطمینان است. در یک گام اضافی می‌توان با برآش یک منحنی مناسب روی داده‌های شبیه‌سازی شده توسط کد مونت کارلو GATE، بدون نیاز به شبیه‌سازی‌های بعدی، تأثیر شرایط مختلف را برای اندازه‌گیری دز معادل محیطی نوترون‌های ثانویه تولید شده در روش اسکن نقطه‌ای (برای سیستم موردنظر بررسی در این مطالعه) بررسی کرد.

در اطراف فانتوم بستگی دارد و در راستای پرتوی فرودی بیشترین دز معادل محیطی نوترون در اطراف فانتوم قابل اندازه‌گیری است. برای یک موقعیت خاص در اطراف فانتوم، با افزایش انرژی از ۱۰۰ به ۲۲۰ مگا الکترون‌ولت، دز معادل محیطی با ضریبی تا ۵۰ برابر بیشتر افزایش یافت. هم‌چنین تأثیر اندازه میدان و تأثیر طول ناحیه گسترش قله برآگ بر تولید نوترون‌های ثانویه بررسی شد. مشاهده شد که با افزایش ابعاد میدان، دز معادل محیطی افزایش پیدا می‌کند؛ اما در مورد تأثیر افزایش ناحیه گسترش قله برآگ، یک افزایش شدید در تولید دز معادل نوترون برای افزایش ناحیه گسترش قله برآگ از ۰ تا ۵ سانتی‌متر مشاهده شد و بعد از این ناحیه روند افزایشی کند شده و تقریباً به مقداری ثابت رسیده است. دلیل آن را می‌توان عدم کفایت پروتون‌ها برای تولید نوترون‌های بیشتر در نواحی طولانی‌تر ناحیه گسترش قله برآگ عنوان کرد. با درنظر گرفتن این نکته که اندازه‌گیری‌ها با استفاده از آشکارسازهای WENDI و شمارگر تناسبی معادل بافت صورت گرفته و ما در شبیه‌سازی‌ها از کره بونر و شمارگر تناسبی معادل بافت استفاده کرده‌ایم و توجه به این نکته که همواره یک خطای ذاتی در شمارش توسط این آشکارسازها وجود دارد، (وابستگی به انرژی در کره بونر  $\pm 30\%$  و در شمارگر تناسبی معادل بافت  $\pm 20\%$ ) مقدار خطای به دست آمده برای داده شبیه‌سازی و اندازه‌گیری معقول به نظر می‌رسد. در مطالعات مختلف استفاده

## ۵. مراجع

- [1] U. Schneider and R. Hälg. The impact of neutrons in clinical proton therapy. *Frontiers in Oncology*, (2015). 5, 235.
- [۲] علی اسدی، سید ابوالفضل حسینی و ناصر وثوقی. مدلسازی و اعتبارسنجی باریکه پروتون برای یک سیستم اسکن نقطه‌ای پروتون درمانی با استفاده از نرم‌افزار GATE. *مجله علوم و فنون هسته‌ای*، (۱۴۰۰).
- [۳] علی اسدی، سید ابوالفضل حسینی و ناصر وثوقی. ارزیابی کمیات دزیمتری در روش‌های پراکندگی غیرفعال و اسکن نقطه‌ای در پروتون درمانی مبتنی بر شبیه‌سازی صورت گرفته با نرم‌افزار GATE. *مجله علوم و فنون هسته‌ای*، (۱۴۰۰).
- [4] A. Pérez-Andújar, R. Zhang and W. Newhauser. Monte Carlo and analytical model predictions of leakage neutron exposures from passively scattered proton therapy. *Medical physics*, 40(12) (2013) 121714.
- [5] Y. Zheng, W. Newhauser, J. Fontenot, P. Taddei and R. Mohan. Monte Carlo study of neutron dose equivalent during passive scattering proton therapy. *Physics in Medicine & Biology*, 52(15) (2007) 4481.
- [6] F. Biltekin, M. Yeginer and G. Ozigit. Investigating in-field and out-of-field neutron contamination in high-energy medical linear accelerators based on the treatment factors of field size, depth, beam modifiers and beam type. *Physica Medica*, 31(5) (2015) 517-523.
- [7] A.B. Chilton, J.K. Shultis and R.E. Faw. *Principles of radiation shielding*. (1984).
- [8] W.D. Newhauser and R. Zhang. The physics of proton therapy. *Physics in Medicine & Biology*, 60(8) (2015) R155.
- [9] P.J. Binns and J.H. Hough. Secondary dose exposures during 200 MeV proton therapy. *Radiation protection dosimetry*, 70(1-4) (1997) 441-444.
- [10] S. Agosteo, C. Birattari, M. Caravaggio, M. Silari and G. Tosi, G. Secondary neutron and photon dose in proton therapy. *Radiotherapy and oncology*, 48(3) (1998) 293-305.
- [11] G.F. Garcia-Fernandez, E. Gallego, J.M. Gomez-Ros, H.R. Vega-Carrillo, R. Garcia-Baonza, L.E. Cevallos-Robalino and K.A. Guzman-Garcia. Neutron dosimetry and shielding verification in commissioning of Compact Proton Therapy Centers (CPTC) using MCNP6.2 Monte Carlo code. *Applied Radiation and Isotopes*, 169(2021) 109279.
- [12] N. Mojzeszek, J. Farah, M. Kłodowska, O. Ploc, L. Stolarczyk, M.P.R. Waligórska and P. Olko. Measurement of stray neutron doses inside the treatment room from a proton pencil beam scanning system. *Physica Medica*, 34(2017) 80-84.
- [13] F. Trompier, S. Delacroix, I. Vabre, F. Joussard, F. and J. Proust. Secondary exposure for 73 and 200 MeV proton therapy. *Radiation protection dosimetry*, 125(1-4) (2007) 349-354.
- [14] J. Lillhök, P. Beck, J.F. Bottollier-Depois, M. Latocha, L. Lindborg, H. Roos and F. Wissmann. A comparison of ambient dose equivalent meters and dose calculations at constant flight conditions. *Radiation measurements*, 42(3) (2007) 323-333.
- [15] J. Farah, M. De Saint-Hubert, N. Mojzeszek, S. Chirietti, M. Gryzinski, O. Ploc, F. Trompier, K. Turek, F. Vanhavere and P. Olko. Performance tests and comparison of microdosimetric measurements with four tissue-equivalent proportional counters in scanning proton therapy. *Radiation Measurements*, 96(2017) 42-52.
- [16] J. Farah, V. Mares, M. Romero-Expósito, S. Trinkl, C. Domingo, V. Dufek, M. Kłodowska and R.M. Harrison. Measurement of stray radiation within a scanning proton therapy facility: EURADOS WG9 intercomparison exercise of active dosimetry systems. *Medical physics*, 42(5) (2015) 2572-2584.
- [17] D. Strulab, G. Santin, D. Lazaro, V. Breton and C. Morel. GATE (Geant4 Application for Tomographic Emission): a PET/SPECT general-purpose simulation platform. *Nuclear Physics B-Proceedings Supplements*, 125(2003) 75-79.
- [18] B. Burgkhardt, G. Fieg, A. Klett, A. Plewnia and B.R.L. Siebert. The neutron fluence and H\*(10) response of the new LB 6411 rem counter. *Radiation Protection Dosimetry*, 70(1-4) (1997) 361-364.
- [19] C.A.O Jing, J.I.A.N.G. Xiaofei, J.I.A.N.G Chunyu, C. Hongrui and Y. Zejie. Calculation of response function for bonner sphere spectrometer based on Geant4. *Plasma Science and Technology*, 17(1) (2015) 80.
- [20] D.M.H. Cunningham and K. Bontcheva. *Text Processing with GATE (Version 6)* (pp. 8-1). University of Sheffield D. (2011).
- [21] R. Serber. Nuclear reactions at high energies. *Physical Review*, 72(11) (1947) 1114.
- [22] C. Schneider, W. Newhauser and J. Farah. An analytical model of leakage neutron equivalent dose for passively-scattered proton radiotherapy and validation with measurements. *Cancers*, 7(2) (2015) 795-810.